



1.- (D-7): Megasecuencia decamétrica con estratos de potencia creciente a techo. Alternancia de Cumbres.

(los números entre paréntesis son la referencia del negativo:  
D-n: diapositiva; nm: negativo-nº de carrete y m de la foto grafía).



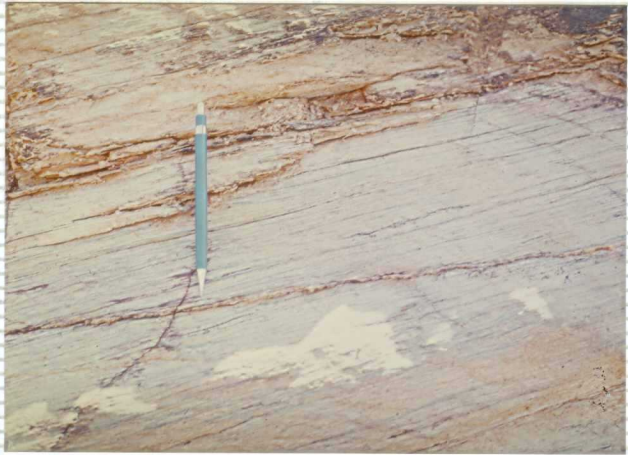
10.- (3-21): Afloramiento de espilitas.



11.- (1-1): Aspecto de los Esquistos de Fatuquedo en área con  $S_0$  y  $S_1$  subhorizontal.



12.- (1-2): Detalle de la anterior, mostrando una charnela.  
de fase 1, definida por So



13.- (D-13): Aspecto de detalle de los esquistos verdes laminados de la Formación Fatuquedo.



14.- (1-8): Aspecto de detalle de los esquistos laminados de Fatuquedo.



15.- (1-10): Intercalación espilitica en los Esquistos de Fatuquedo.



16.- (3-22) Nivel de óxidos de Fe y Mn intercalado en los Esquistos de Fatuquedo.



17.- (3-24): Idem. anterior.



18.- (3.25): Detalle de la fotografía 3-24.



19.- (1-16): Esquistas de Fatuquedo con mosqueado de contacto, en el área de alteraciones.



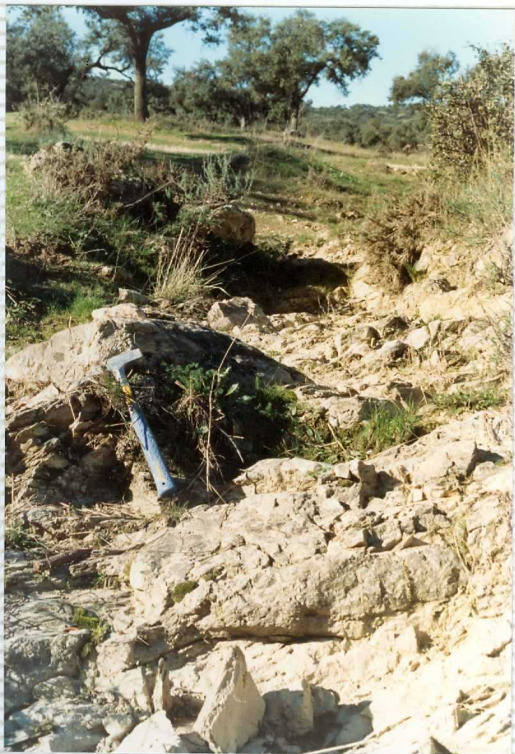
2.- (D-8): Detalle de la anterior, mostrando la relación entre la estratificación y la esquistosidad ( $S_1$ ). Zona de Charnela.



20.- (1-17): Detalle de los Esquistos de Fatuquedo en área de alteraciones (silicificación y albitización).



21.- (1-18): Aspecto de los Esquistos de Fatuquedo silicificados.



22.- (1-20): Idem anteriores.



23.- (1-21): Idem anteriores.



23.- (1-21):

24.- (1-22): Aspecto general de los Esquistos de Fatuquedo alterados.



25.- (1-23): Detalle de la anterior.



26.- (l-24): Detalle de la anterior.



27.- (1-28): Aspecto general de un afloramiento típico de las pizarras de Barrancos.



28.- (1-34): Aspecto de los Esquistos de Barrancos.



29.- (3-9): Aspecto del nivel basal arenoso de los Esquistos de Barrancos.



3.- (D-11): Limos gris azulados con laminación paralela de descantación. Intercalan niveles arenosos con laminación ondulada. Alternancia de Cumbres.



30.- (3-11): Detalle de la anterior.



31.- (3-10): Detalle de la anterior.



32.- (D-14): Pliegue de segunda fase, sobre las facies detriticas de techo de los Esquistos de Barrancos.



33.- (2-20 y 2-21): Panorámica del resalte morfológico de la Grauwaca de Sierra Colorada.



34.- (2-3): Aspecto general del nivel de conglomerados de muro de la Grauwaca de Sierra Colorada.



35.- (2-2): Detalle de la anterior mostrando los cantos.



36.- (2-5): Otro aspecto de detalle del conglomerado.



37.- (D-15): Facies heterolíticas en la Grauwaca de Sierra Colorado  
Techos ondulados por ripples en los lechos arenosos.



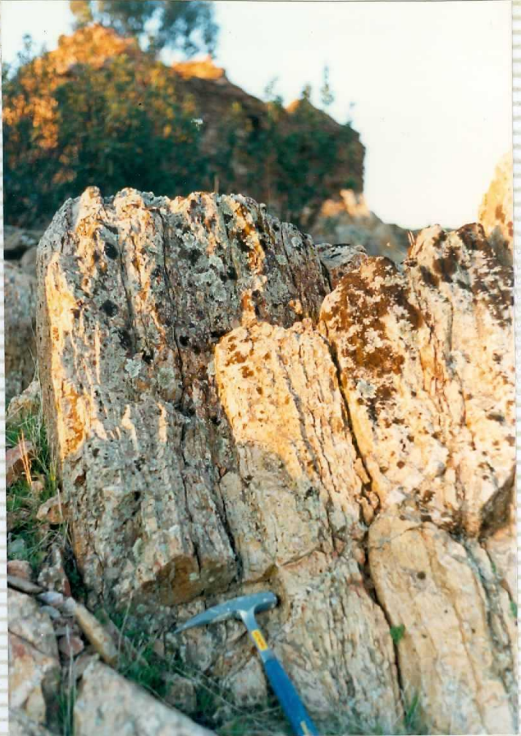
38.- (D-16): Nivel con bioturbaciones en la Grauwaca de Sierra Colorada.



39.- (D-17): Megaripple en un nivel arenoso de la Grauvaca de Sierra Colorada.



4.- (3-16): Facies heterolíticas en las Alternancias de Cumbres. Los niveles arenosos presentan abundantes estructuras de ripples.



40.- (2-36): Detalle de la cuarcita de muro de las Grauvacas de Sierra Colorado. Se observan ondulaciones de ripples en las juntas de estratificación, y alguna bioturbación vertical.



41.- (2-29): Panorámica de los resalte s morfológicos de los niveles cuarcíticos de techo (A) y muro (B) de la grauvaca de Sierra Colorada. Cierre perisinclinal y estructura de arrastre de fase 2.



42.- (2-25): Resalte morfológico de la cuarcita de techo de la Grauwaca de Sierra Colorada.



43.- (1-12): Suelo oscuro desarrollado sobre ampelitas.



44.- (1-13): Detalle de la anterior, mostrando un afloramiento de ampelitas.



45.- (2-33) : Aspecto general de un afloramiento típico de liditas.



46.- (2-34): Detalle afloramiento de liditas.



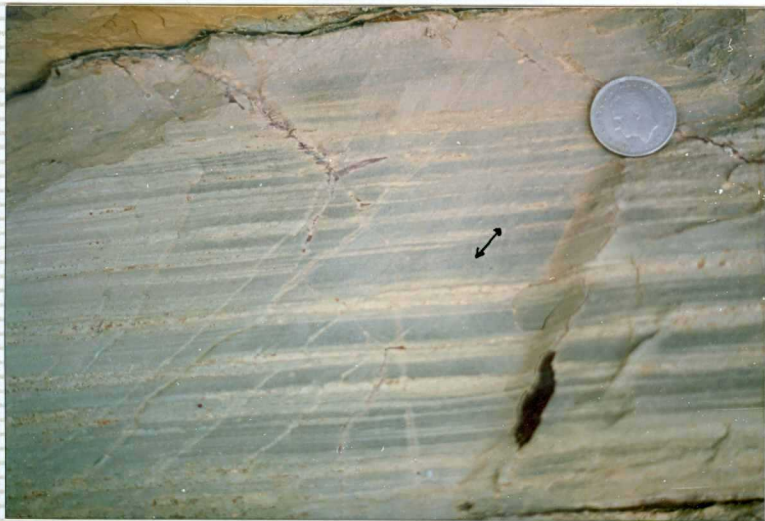
47.- (2-30): Aspecto típico de afloramiento de liditas.



48.- (D-21): Facies heterolíticas hacia la base de los  
Kistos Raies.



49.- (D-22): Ejemplo de laminaciones cruzadas debidas a migración de ripples asimétricos. Tramos detríticos basales de los "Kistos Raies".



5.- (3-17): Idem anterior. Se observan algunos trenes de ripples trepadores.



50.- (D-20): Idem anterior.



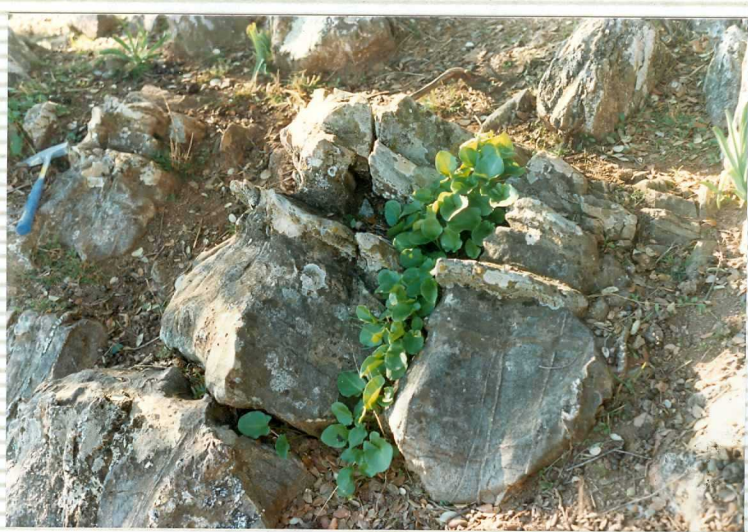
51.- (2-35): Nivel arenoso basal de los Esquistos Raies, con laminaciones cruzadas de Ripples y bioturbación vertical.



52.- (2-16): Nivel calcáreo de las Capas de Russiana, en un cierre peri-sinclinal de primera fase, de escala decamétrica.



53.- (2-17): Detalle de la anterior.



54.- (2-18): Detalle de la estratificación en las Capas de *Russiana*.  
Flanco de la estructura anterior.



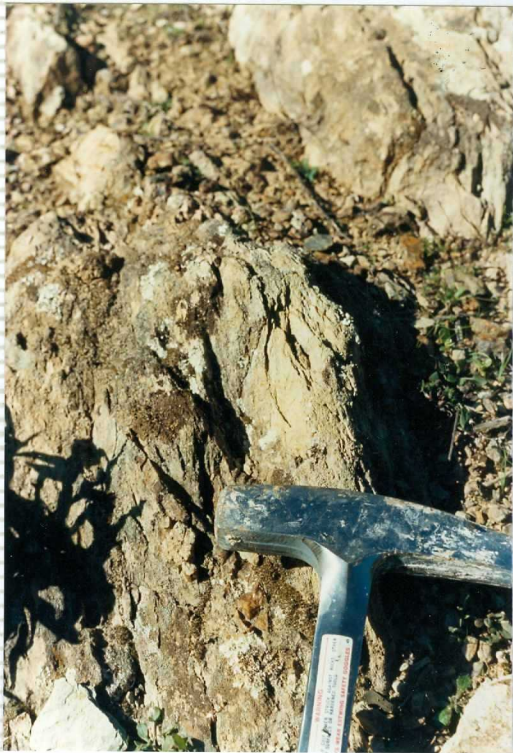
55.- (2-6): Grauwacas de muro del Flysch Terena.

56.- (2-7): Detalle de la anterior.





57.- (2-9): Alternancia de niveles grauwáquicos y pelíticos. Flysch Terena.



58.- (2-10): Detalle de la anterior mostrando uno de los niveles grauwáquicos.



59.- (3-5, 3-6 y 3-7): Panorámica de la superficie peniplanizada que definen los depósitos de la "Raña".



6.- (3-14): Intercalación espilitica de las Alternancias de Cumbres.



60.- (3-8): Aspecto del suelo desarrollado sobre la raña. Destaca la abundancia de cantos de cuarcita redondeados.



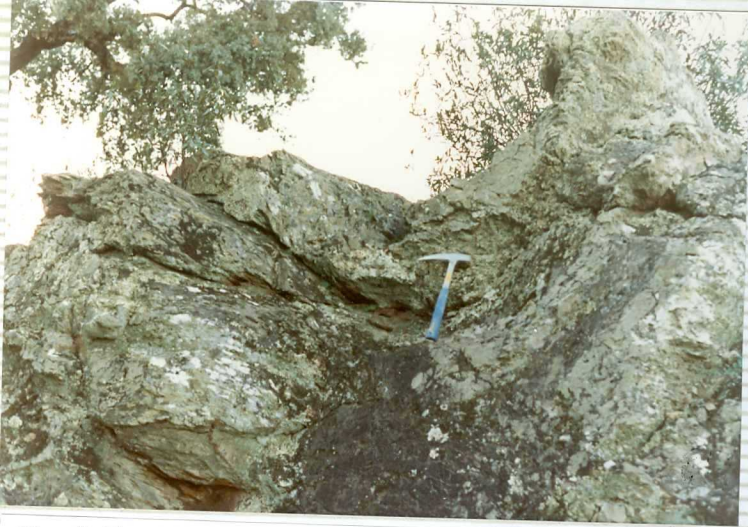
61.- (1-3): Pliegue laxo de segunda fase sobre Esquistos de Fatuquedo.



62.- (1-4): Pliegue de arrastre de morfología angular en un flanco de la estructura anterior.



63.- (1-6) Sinfoorma de 2<sup>a</sup> fase sobre los Esquistos de Fatuquedo.



64.- (1-7): Detalle de la anterior mostrando la esquistosidad ( $S_1$ ). plegada.



65.- (1-35): Pliegues menores de 2<sup>a</sup> Fase, de morfología angular, sobre Esquistos de Barrancos.



66.- (1-36): Aspecto de una charnela de los pliegues anteriores.

67.- (1-37): Idem anterior





68.- (2-8): Pliegue de arrastre de segunda fase sobre las grauwacas del Flysch Terena.



69.- (2-11): Aspecto general de ampelitas y liditas, mostrando un pliegue de arrastre de fase 1, de plano axial - subhorizontal. La estructura está alabeada por pliegues laxos de fase 2, de plano axial subvertical. Esquistosidad asociada a las dos fases.



8.- (3-19): Resalte morfológico de la Cuarcita de Cumbres.  
Área de cierre periclinal.



70.- (2-12-13 y 14): Panorámica de un anticlinal de primera fase, tomada desde el cierre pericinal. La estructura está marcada por el resalte morfológico de la asociación de la cuarcita de techo de la Grauwaca de Sierra Colorada (A) y el nivel basal de liditas (B). El núcleo deprimido con tierra de labor está ocupado por el tramo intermedio (pelítico-arenoso) de la grauwaca. (C).



71.- (2-22, 23 y 24): Panorámica del cierre perisinclinal y uno de los flancos de una estructura de 2<sup>a</sup> fase. El resalte morfológico corresponde a la Grauwaca de Sierra Colorada.



72.- (2-32): Charnela de segunda fase en afloramiento típico de liditas.



73.- (3-3): Filón de cuarzo y óxidos que fosiliza la más oriental de las grandes facturas longitudinales.



74.- (3-4): Otra toma sobre el filón de la fotografía anterior.



75.- (l-ll): Filón de cuarzo y óxidos en el área de alteraciones.



76.- (1-15): Crestón morfológico de un filón de cuarzo y óxidos que fosiliza una de las grandes fallas logitudinales.



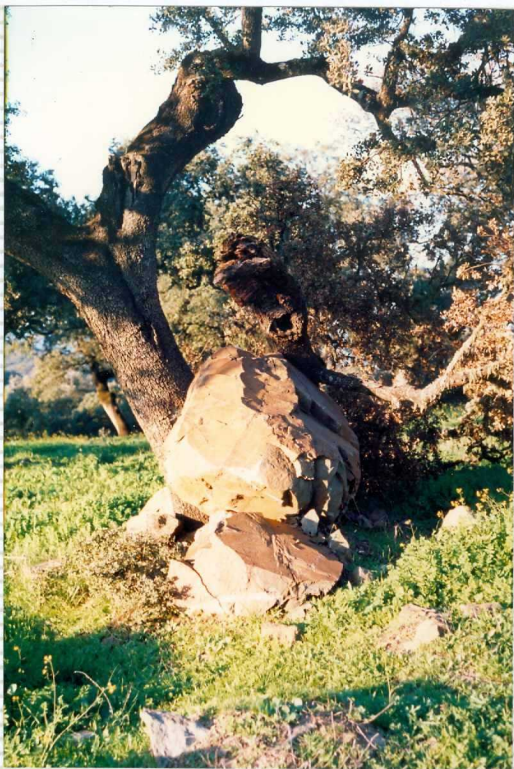
77.- (1-14): Aspecto de la corta de la Mina de la Cabra.  
Desde el borde Norte de la hoja.



78.- (1-31): Panorámica de la corta de la Mina de Peña de Hierro.



79.- (l-29): Oxidos de hierro (Oligisto) en un hastial de la corta de la mina de Peña de Hierro.



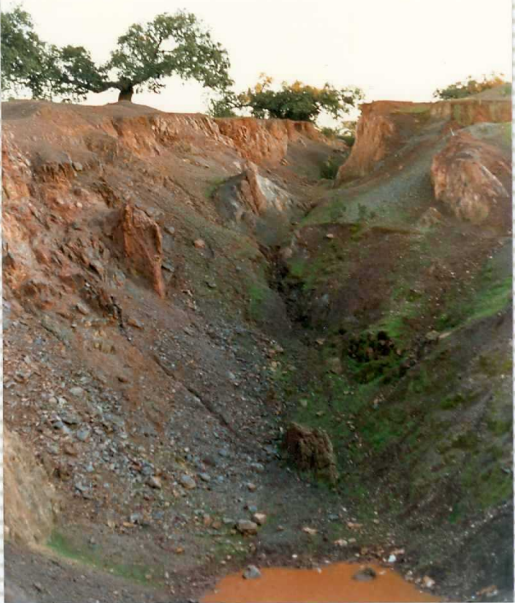
7.- (3-15): Nivel de espilitas intercalado en las Alternancias de Cumbres.



80.- (l-32): Aspecto de los esquistos de Barrancos en uno de los hastiales de la corta.



81.- (l-33): Aspecto del otro hastial de la corta, en ampelitas y liditas. Se observan algunos filoncillos de cuarzo y óxidos, subparalelos y oblicuos al principal.



82.- (2-37): Labor abandonada en el filón de cuarzo y óxidos de Fe que fosiliza la falla de Peña de Hierro.



83.- (2-27): Manantial asociado al punto de menor cota del contacto entre ampelitas y la Grauwaca de Sierra Colorada.



9.- (3-18): Aspecto de detalle de la Cuarcita de Cumbres.